

المُلْخَص:

تم دراسة بعض القطع الفخارية المكتشفة بتل آثار هربيط بالشرقية "وهو من الموقع الأثري الذي تعود إلى العصر المتأخر" وأجريت عليها العديد من الفحوص والتحاليل المختلفة مثل الفحص بالميكروسكوب المستقطب PLM والفحص الميكروبيولوجي والفحص بالميكروسكوب الإلكتروني الماسح المزود بوحدة تشتن طاقة الأشعة السينية (EDX) والتحليل بحيود الأشعة السينية powder XRD، وتوصل البحث إلى التعرف على العملية التكنولوجية حيث ثبت أن الطفلة المستخدمة في صناعة الفخار من نوع الطفلة النيلية Nile Clay، أما الإضافات Tempers عبارة عن الرمل ومسحوق الفخار ومسحوق الحجر الجيري من نوع الكلوميت، وتقنية التشكيل المستخدمة هي تقنية التشكيل بالعلقة والمعالجة السطحية Surface Treatment من نوع طبقة البطانة Slip Layer، أما جو الحرق داخل الفرن كان جواً مؤكسداً لقطعة الأولى ومتخذاً لقطعة الثانية. كما ثبت أيضاً أن معظم الآثار الفخارية تعاني من التلف الفيزيائي بفعل رواسب ورديم التربة، بالإضافة إلى ظاهرة الكسر، فضلاً عن وجود نموذج فطري من نوع البنسليلوم والأسبرجالليس، علامة على وجود أملاح الكلوريدات والكبريتات والكربونات والفوسفات من جراء الدفن في التربة.

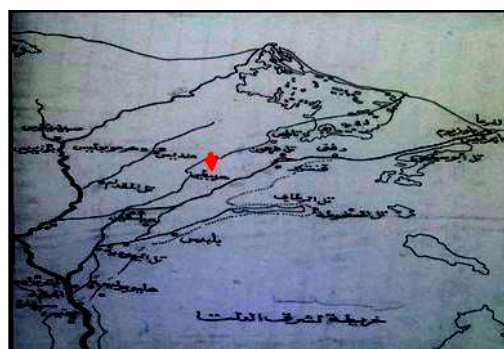
وقد تم ترميم تلك القطع الفخارية المستخرجة من تل آثار هريبيط بالشرقية بإستخدام طريقة التنظيف الميكانيكي أو لا ثم التنظيف الكيميائي بإستخدام مزيج من الأسيتون و الكحول الأيتيلي بنسبة ١:٢ على التوالي لإزالة رواسب التربة الطينية، و إستخدام خليط يتكون من تراي تون أكس ١٠٠ بنسبة ٤,٩ % " Triton X-100" ، الـزـاـيلـين p-xylene بنسبة ٤,٠ % وكربونات الأمونيوم $(\text{NH}_4)_2\text{CO}_3$ بنسبة ٢,١ % والماء بنسبة ٩٢,٦ % على هيئة كمادة لإزالة الرواسب السليكاتية و الكلسية الصلدة ، و أبخرة الثيمول في علاج

الإصابات الفطرية، و إستخدام خليط النانو السليكا والبارالويد ب٧٢ بتركيز ١٪ في تقوية الفخار الأثري بطريقة الرش Spraying و لاصق البارالويد ب ٧٢ بتركيز ٥٪ في تجميع القطعة الفخارية الثانية.

الكلمات الدالة:(الفخار، التلف، الفحص، الكمادات، الثيمول، البارالويد، النانوسليكا)

١-المقدمة :

يقع تل آثار هربيط بالقرب من مدينة أبو كبير شمال شرق الزقازيق بمحافظة الشرقية^١، وكانت تعرف قديماً بأسم تي رمو، وأغلبظن أن أسمها أشتقت من الأسم المصري القديم "حر بيت" وقد أطلق عليها الأغريق فاربيثيوس، وأن مكانها الحالي هو قرية هربيط بالشرقية^٢ كما في الشكل رقم (١)، وقد كشفت الحفائر عن العديد من القطع الأثرية الفخارية المختلفة الأشكال والأحجام^٣.



شكل (١) يمثل تل آثار هربيط بشرق الدلتا (عن عبد الحميد ، ٢٠٠٧ ،)

و معظم تلك الآثار الفخارية تعاني من تشرخ الأثر وتزهر وتبلور الأملاح وجود البقع المختلفة وتكلسات ورديم التربة^٤ مما يستدعي ترميمها وصيانتها من خلال عملية تنظيفها، وأختيار تقنية التنظيف المناسبة Suitable Cleaning للفخار المستخرج من تل هربيط ليست عملية سهلة بسيطة^٥ لتشعبها حيث يستخدم فيها العديد من المواد والتقنيات المختلفة على حسب طبيعة الإتساخ^٦، ومن أفضل المواد

^١ محمد صلاح البهنسى ، نجاح صبرى ، تقرير علمي ، ص ٣

^٢ ابراهيم كامل ، شرق الدلتا ، ص ١١٦

^٣ محمد السيد عبد الحميد ، هربيط الموقع والتاريخ ، ص ٦٦٨-٦٧٧

^٤ Bradley , S., and Pilz , M., " inorganic polymer " , p 770 .

^٥ Moncreiff, A., & Weaver , G., Cleaning , pp . 13-21

^٦ De Guichen , G., " Object Interred , Object Disinterred " , p . 22 .

المستخدمة في عملية التنظيف في الأونة الأخيرة الإديتا وهي من المواد الشائعة الأنشار في تنظيف الرواسب والتكتلست والبقع المعدنية المختلفة^٧، وكذلك المستحلبات النانوية microemulsions والتي تستخدم لتجنب تأثير المذيبات على الأثر الفخاري، وهي مواد سائلة، ثابتة وشفافة ^٨ o/w microemulsions، ومعظم الآثار الفخارية ذات تركيب فيزيائي ضعيف مما يستدعي تقويتها بأحد المقويات المناسبة سواء الأكريلالية أو السليكونية أو الأكريلالية السليكونية أو المركبات النانوية، ففي السنوات القليلة الماضية أستخدمت المركبات النانوية بدرجة كبيرة في تقوية الآثار الفخارية، حيث أضيفت بعض المواد النانوية مثل النانو سليكا إلى البولимерات الأكريلالية والسليكونية بغرض تحسين خواصها الفيزيوكيميائية والميكانيكية physiochemical and mechanical properties حيث حققت تحسين ملحوظ في قدرة تلك البولимерات في تقوية الآثار الفخارية^٩. ومن المعروف إن القطع الفخارية بتل هريبيط تعرضت للكسر بفعل الدفن في التربة^{١٠} نتيجة ضعف البنية الداخلية ووقوع الأثر تحت ضغوط وانفعالات داخلية^{١١} أو بفعل الضغوط والأحمال الخارجية^{١٢}. وتحتاج مثل هذه القطع إلى عمليات تجميع، وعملية التجميع ليست بالعملية السهلة البسيطة، وإنما هي عملية معقدة^{١٣}، ولقد تنوّعت المواد اللاصقة تنوّعاً كبيراً فيما بينها بناءً على طبيعتها الفيزيائية والكميائية^{١٤}. وهناك العديد من المواد المستخدمة في عملية التنظيف أو التجميع أو التقوية المناسبة أو التي لا تناسب حالة تلك القطع الفخارية بتل هريبيط، لذلك تهدف هذه الدراسة تقديم بعض المواد والتقنيات الآمنة في تنظيف ولصق وتقوية الآثار الفخارية المستخرجة من تل هريبيط والتي تم دراستها وتقديرها معملياً من قبل الباحثين لتكون بمثابة أساساً علمياً لترميم تلك القطع الفخارية المستخرجة من تل آثار هريبيط بالشرقية أو غيرها من المواقع الأثرية الأخرى.

7 De Witte, E.,& Dupas, M. " Cleaning by EDTA" pp.1023-1031.

8 Berti, D., " Cleaning: Emulsions and Microemulsions ", p.200.

9 Helmi,F.,M., and Hefni,Y.K., " Using Nano Composites " , pp. 29-40

10 Ashurst, J. and Ashurst, N., Pratical Building Conservation, p. 31 .

11 Goffer, Z., Archaeological Materials, and Archaeometry, p 44 .

12 Warren, J., Conservation of Brick, pp. 99-101

13 Giboteav, Y., La Dérestauration des Céramiques Archéologiques, p 291 .

14 William, N., Porcelain and Restoration, , pp. 35 - 37

٢- مواد وطرق الدراسة :

٢-١- مواد الدراسة :

تم اختيار عدد (٣) عينات منها عدد (٢) عينة من الكسر الفخارية الأثرية (موضوع الدراسة)، فضلاً عن عينة من تربة الموقع الأثري، وأستخدمت عينتي الآثار الفخارية بعد كسرهما إلى عدة كسر لاستخدام نفس الكسر في كافة الفحوص و التحليل التي تم إجراءها بالبحث .

٢-٢- طرق الدراسة :

Visual Examination

٢-٢-١- الفحص البصري

تعتبر طريقة الفحص البصري Visual Examination من الطرق الهامة التي توضح تكنولوجيا صناعة و مظاهر التلف سواء بالعين المجردة أو بإستخدام العدسات المختلفة التي تتراوح قوتها تكبيرها ما بين "X:4" "X:6" ^{١٥}.

٢-٢-٢- الفحص بالميكروسكوب المستقطب :

يستخدم في دراسة التركيب البتروجرافي وطبيعة الحرق وتلف المكونات المعدنية^{١٦}، وتم عمل شرائح رقيقة من الكسر الفخارية بسمك ٠٣ مم^{١٧} للفحص البتروجرافي للفخار الأثري بإستخدام الميكروسكوب المستقطب ماركة Olympus BX51 TF japan attached with digital camera under magnification 4X up to 40X وتم إجراء هذا الفحص بكلية العلوم بجامعة القاهرة.

٢-٢-٣- الفحص بالميكروسكوب الإلكتروني الماسح المزود بوحدة EDX يصف الميكروسكوب الإلكتروني الماسح مورفولوجية سطح وتلف الفخار الأثري^{١٨}، وتم فحص العينات الفخارية على حالتها بإستخدام الميكروسكوب الإلكتروني الماسح البيئي ماركة JEOL JSM-840 and SEM Quanta 200 FEG، وكانت ظروف التشغيل "20 kV and 1×10^{-9} A" وتم إجراء هذا الفحص بوحدة الميكروسكوب الإلكتروني الماسح البيئي المزود بوحدة EDX بهيئة المساحة الجيولوجية بالقاهرة.

٤-٢-٤- الفحص микробиولوجي :

لقد تم إستخدام بيئة نمو من النوع Potato Dexestrose Agar والمعروفة ببيئة PDA وهي بيئة نمو تتكون من 200gm Dexestrose، 200 gm Potato Extract،

^{١٥} رمضان عوض، علاج الآثار الزجاجية، ص ١٤٩.

16 Riley, J., A .., " analysis of Ceramics ", PP.1-8.

17 Henderson, J., The science and archaeology, P.11 .

18 Exahos, G., Characterization of Materials, p.195.

Distilled (traces) Stiriptomycene, 10gm Rose Bengal, 20 gm Agar (750 Cm³) Water، وتم تعقيمها في الأتوكلاف على ١٥ ضغط جوي. ولقد تم إضافة التركيز للعينات محل الإختبار لبيئة PDA، و تم صبها في أطباق بتري معقمة، وتم تحضير الأطباق على درجة حرارة ٢٨ م°، ثم تلي ذلك عمل فصل وتنقية للمستعمرات في أطباق تحتوي على نفس البيئة حتى يمكن تصنيفها بدقة، ولقد تم بعد ذلك إجراء عملية الفحص والتصنيف للفطريات المعزولة بناء على شكل ولون وكثافة المستعمرات الفطرية بالعين المجردة أولا ثم بواسطة الميكروскоп ثانيا لتحديد نوع المستعمرات الفطرية وذلك طبقا لتصنيف Domsh¹، وتم إجراء هذا الفحص بوحدة الفحص الميكروبولوجي بمركز بحوث الترميم والصيانة بوزارة الآثار بالقاهرة.

٢-٤-٥. التحاليل بطريقة حيود الأشعة السينية: التحليل بحيود الأشعة السينية XRD من الطرق الهامة التي تعطي التركيب المعدني للآثار الفخارية مما يساعد على فهم طبيعة صناعة الآثار الفخارية، وميكانيكية التلف^٢، والجهاز المستخدم ماركة Philips ويحتوي على وحدة فصل الموجات من نوع الجرافيت، وبرامج تشغيل من نوع 'X'Pert Graphics' and 'Identify', by Philips) التشعيل تمت باستخدام لمبة Cu-K α radiation 40 MA, 45 kV ، ونمط الحيود المستخدم ما بين "2 θ 4°-70°، وظروف التشغيل تمت باستخدام لمبة Cu-K α radiation 40 MA, 45 kV ، وتم إجراء هذا التحليل بمركز التحاليل الدقيقة بمعهد الفلزات بحلوان.

٣- النتائج :

٣-١-الفحص البصري:

أثبت الفحص البصري للآثار الفخارية وجود ظاهرة الكسر breaking وبقع مختلفة ولب أسود وظاهرة التقشر ورواسب التربة وتبلور الأملاح وطريقة التشكيل هي الدوّاب wheel والمعالجة السطحية هي طبقة البطانة slip layer كما في الصورة رقم (B-A1).

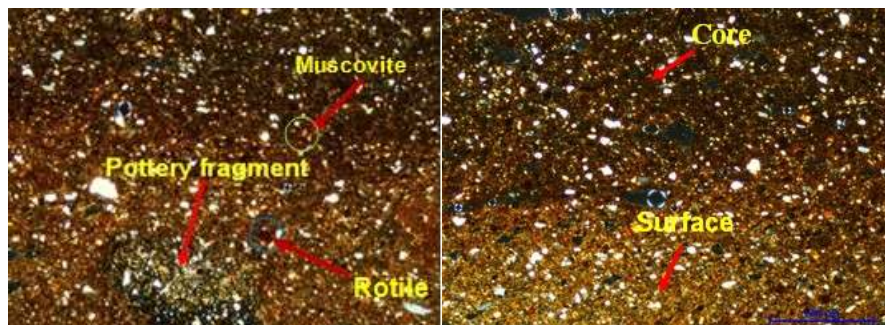
10 Domsh , K. H., et al , Soil fungi , pp.34-36.

11 Sayre , E.V., " Application of Compositional Analysis to Materials Objects ", pp. 41-49 .



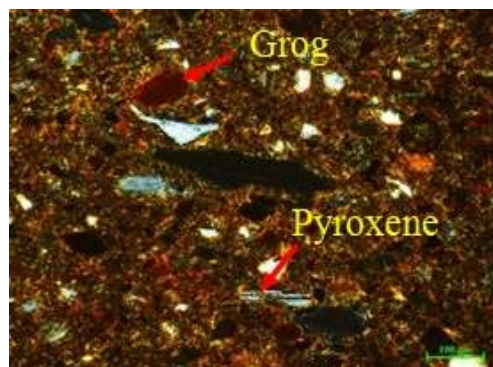
صورة (١) A : تفشر وتبور الأملاح بالقطعة الأولى
B: رواسب تربة ظاهرة الكسر بالقطعة الثانية - تصوير الباحث

٣-٢- الفحص بالميكروسكوب المستقطب الآلاني: Polarizing Microscope
لقد تم فحص عدد (٢) عينة لآثار الفخارية المستخرجة من تل آثار هربيط بالشرقية بالميكروسكوب المستقطب حيث توضح الصورة رقم (٢) لمنطقة السطح للعينة الأولى بالضوء المستقطب وجود حبيبات من الكوارتز بالإضافة إلى وجود بقايا من معدن الروتيل وسط أرضية غنية بأكسيد الحديد Iron oxide بقوة تكبير (CN – 10X). كما توضح الصورة رقم (٣) لمنطقة البدن core وجود حبيبات الكوارتز quartz و الروتيل Rotile والميكا من نوع المسكونوفيت Muscovite وبعض المواد المضافة من مسحوق الفخار المعروف باسم pottery fragment وسط أرضية غنية بأكسيد الحديد Iron oxide بقوة تكبير (CN – 10X).



صورة (٢) بالميكروسkop المستقطب توضح وجود الكوارتز والروتيل وأكاسيد "فحص الباحث" صورة (٣) بالميكروسkop المستقطب توضح وجود الكوارتز والروتيل ومسحوق "البيروكسين" بقوة تكبير 10X - CN.

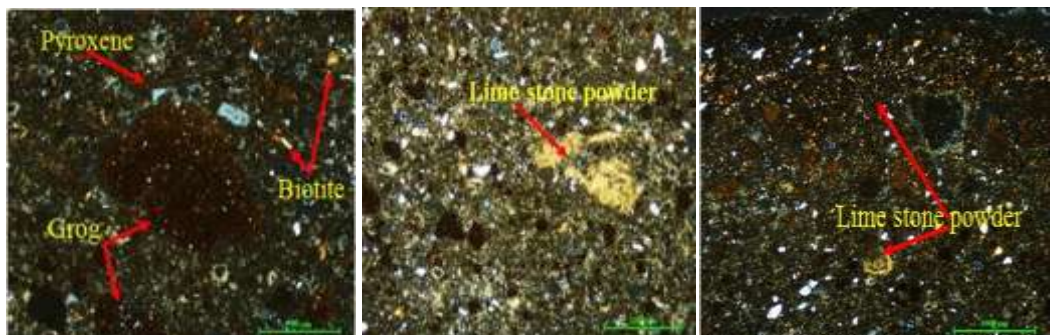
وتوضح الصورة رقم (٤) لجزء آخر لمنطقة البدن core وجود حبيبات الكوارتز خاد الزوايا، فضلاً عن وجود مسحوق الفخار grog والبيروكسين وسط أرضية غنية بأكسيد الحديد Iron oxide بقوة تكبير 10X - CN .



صورة رقم (٤) تمثل صورة بالميكروسkop المستقطب توضح وجود الكوارتز والروتيل والبيروكسين ومسحوق الفخار "فحص الباحث"

وتوضح الصورة رقم (٥) للعينة الفخارية الثانية حيث يظهر الفحص لمنطقة السطح وجود حبيبات كوارتز دقيقة fine grains ، فضلاً عن وجود مسحوق الحجر الجيري lime stone powder والروتيل وسط أرضية غنية بأكسيد الحديد Iron oxide بقوة تكبير 10X - CN . و توضح الصورة رقم (٦) لمنطقة البدن core وجود حبيبات الكوارتز و مسحوق الحجر الجيري ومسحوق الفخار والروتيل وسط أرضية غنية بأكسيد الحديد Iron oxide بقوة تكبير 10X - CN . كما توضح الصورة رقم (٧) لجزء آخر لنفس العينة وجود

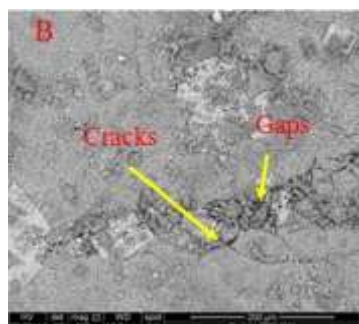
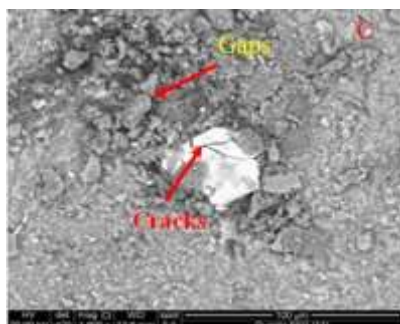
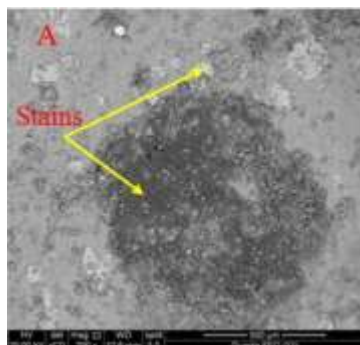
حبيبات الكوارتز و مسحوق الفخار grog والبيروكسين والروتيل والبيوتيت وسط أرضية غنية بأكسيد الحديد Iron oxide بقوة تكبير (10X - CN).



صورة (٧) بالميكروسkop المستقطب توضح وجود البيروكسين والبيوتيت.
"فحص الباحث"

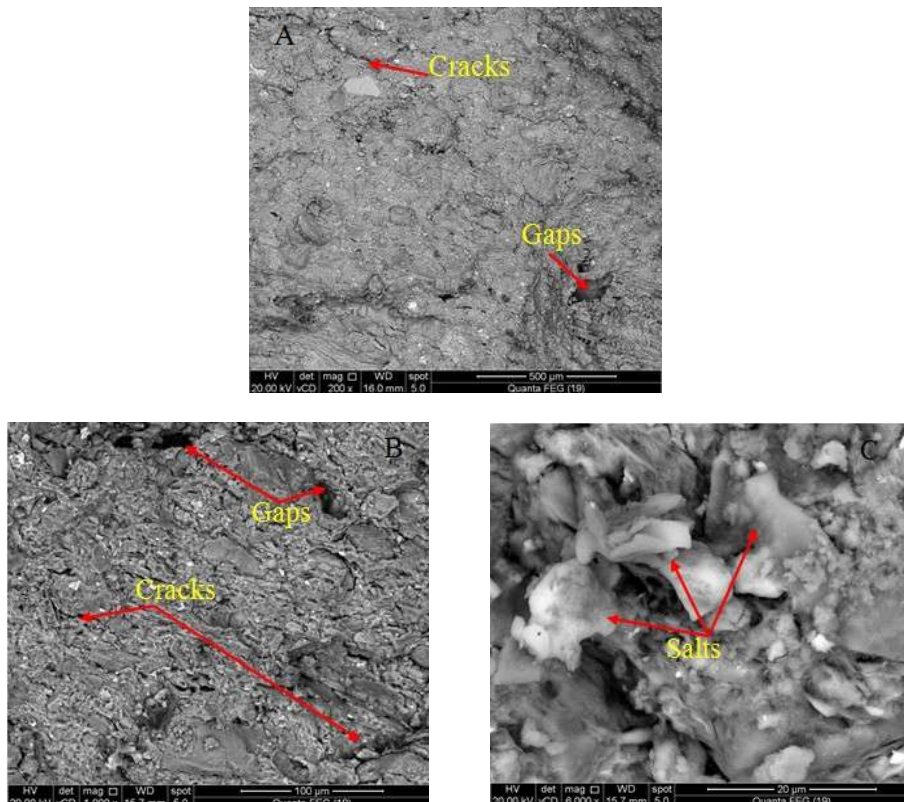
صورة (٦) بالميكروسkop المستقطب توضح وجود مسحوق الحجر الجيري.
"فحص الباحث"

٣-٣-٣-١- الفحص بالميكروسkop الإلكتروني الماسح :
SEM Examination
توضح الصورة رقم (A٨) بالميكروسkop الإلكتروني الماسح للعينة الفخارية الأولى أن العينة تعاني من التلف حيث تقشر طبقة البطانة وبعض البقع ،فضلا عن وجود تكلسات التربة بقوة تكبير (300x). أما الصورة رقم (B٨) تمثل تكبير لجزء من الصورة السابقة حيث ظاهرة التقشر والتشrix والفتحات وتبلور الأملاح بقوة تكبير (600x). كما تم فحص جزء آخر لمنطقة اللب كما في الصورة رقم (C٨) حيث يوضح الفحص وجود رواسب التربة و بعض الشوائب المعدنية والفتحات والتشrix بقوة تكبير (1600X) .



صورة (٨) بالميكروسkop الإلكتروني الماسح توضح A: تفشر طبقة البطانة والتبعع وتكتلitas التربة بقوة تكبير (300x) B : تكبير لجزء من الصورة السابقة C : الفجوات والتشرخ بقوة تكبير (1600X).
" فحص الباحث"

وتوضح الصورة رقم (A٩) بالميكروسkop الإلكتروني الماسح العينة الثانية لمنطقة السطح أن العينة تعاني من التلف الشديد ولاسيما وجود البثارات والفتحات والشروخ وتكتلitas التربة بقوة تكبير (200x). كما توضح الصورة رقم (B٩) الفحص لجزء آخر لنفس العينة حيث ظاهرة التشرخ والفتحات بقوة تكبير(500x). كما تم فحص جزء آخر لمنطقة اللب كما في الصورة رقم (C٩) حيث يوضح الفحص وجود الفجوات وتشوه للبلورات المعدنية وتبليور للأملاح داخل المسام بقوة تكبير(6000X).



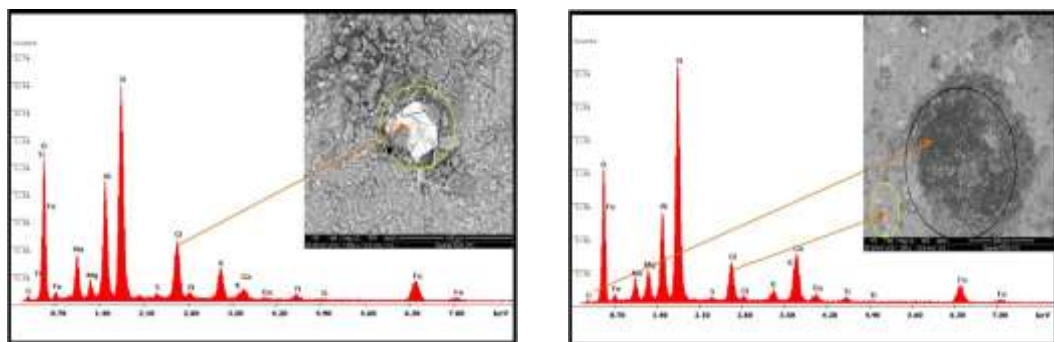
صورة (٩) بالميكروسkop الإلكتروني الماسح توضح A: الفجوات والشروخ بقوة تكبير (500x) B: ظاهرة التشرخ والفجوات بقوة تكبير (200x) C : تشوه البلورات المعدنية وتبلور للأملامح بقوة تكبير (6000X). "فحص الباحث"

SEM- EDX Analysis

تم تحليل العينة الأولى لمنطقة السطح بواسطة الميكروسkop الإلكتروني الماسح المزود بوحدة EDX، وكانت نتائج التحليل كما في الشكل رقم (A٢) حيث أثبت وجود الكربون بنسبة ٥,٨٤ % والأكسجين ٢٣,٤٨ % و الصوديوم بنسبة ٢,٥٢ % والماغنيسيوم بنسبة ٢,٨٢ % والألومنيا بنسبة ١٠,٦٨ % والسليلكون بنسبة ٣٢,٢٠ % و الكلور بنسبة ٥,٧١ % و البوتاسيوم ٢,٠٧ % و الكالسيوم ١١,٢٦ % و الكبريت بنسبة ١,٩٢ % و التيتانيوم ١,٥ %.

أما نتائج التحليل بوحدة EDX للعينة الأولى لمنطقة البدن core كما في الشكل رقم (B٢) حيث يوضح وجود الكربون بنسبة ٢,١٦ % والأكسجين ٢٠,٣٢ % و د الصوديوم بنسبة ٤,٩١ % و الماغنيسيوم بنسبة ١,٤٢ % و الألومنيا بنسبة ١١,٠٤ %

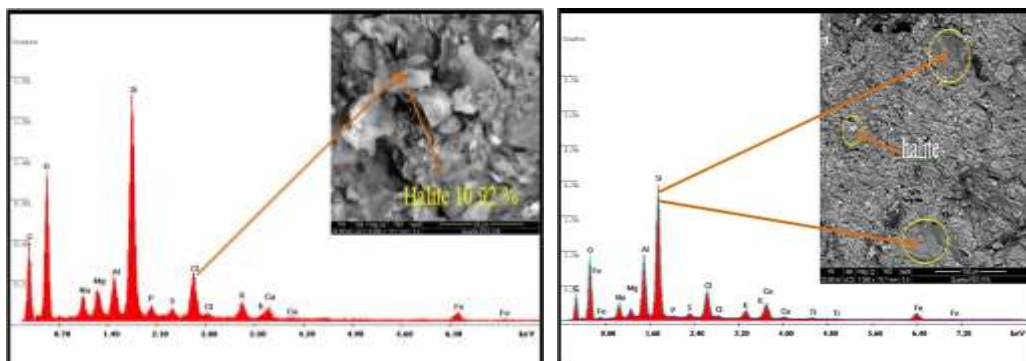
والسليكا بنسبة ٢٢,٤٨٪ و الكبريت ٥٢٪ و البوتاسيوم بنسبة ٥,٦٤٪ و الكالسيوم ٥,٨٠٪ و الكلور بنسبة ٨,٥٥٪ و الحديد بنسبة ١٥,٦٤٪ و التيتانيوم ١,٥٢٪.



شكل (٢) : يمثل نمط تشتت طاقة الأشعة السينية EDX لعينة A حيث A : منطقة السطح
البدن core للقطعة الأولى. "تحليل الباحث"

أما نتائج التحليل بوحدة EDX للعينة الثانية لمنطقة السطح كما في الشكل رقم (A^٣) حيث يوضح وجود الكربون بنسبة ١٩,٧٣٪ والأكسجين ٩,١٦٪ والصوديوم بنسبة ٣,٠١٪ والمغناسيوم بنسبة ٢,٣٤٪ والألومنيا ٤,٩٠٪ والسليكا ٢٢,٢١٪ والفوسفور بنسبة ١,٢١٪ والكبريت بنسبة ١,٩٧٪ والكلور بنسبة ٦,٥٧٪ والبوتاسيوم بنسبة ٣,٤٤٪ والكالسيوم بنسبة ٨,١٤٪ و التيتانيوم بنسبة ١,٨١٪ و الحديد بنسبة ١١,٣٧٪.

أما نتائج التحليل بوحدة EDX للعينة الثانية لمنطقة البدن core كما في الشكل رقم (B^٣) حيث يوضح وجود الكربون بنسبة ٢٠,٥٩٪ والأكسجين بنسبة ٢٣,٣٠٪ والصوديوم بنسبة ١,٩٨٪ والمغناسيوم بنسبة ١,١٦٪ و الكالسيوم بنسبة ١,٩٦٪ والألومنيوم بنسبة ٥,٢٢٪ والسليكا بنسبة ٢٨,٤٥٪ و الكبريت بنسبة ٠,٨٣٪ و الفوسفور بنسبة ١,٨٣٪ والكلور بنسبة ١٠,٩٢٪ و البوتاسيوم بنسبة ١,٧٤٪ و الحديد بنسبة ٢,٠٢٪.

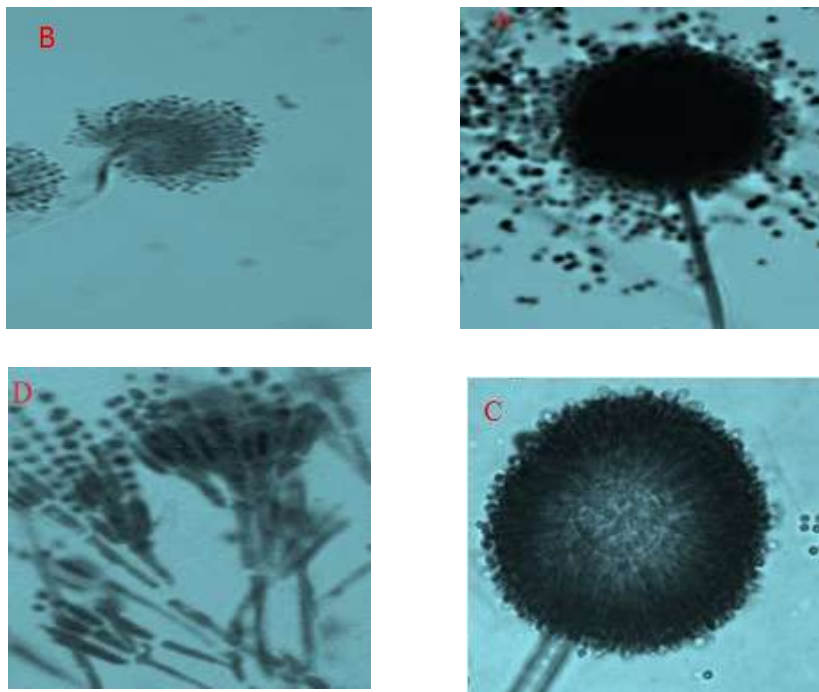


شكل رقم (٣) : يمثل نمط تشتت طاقة الأشعة السينية EDX لعينة حيث A : منطقة السطح B : البدن core للقطعة الثانية. "تحليل الباحث"

Microbiological Examination

٤-٢ - الفحص الميكروبيولوجي

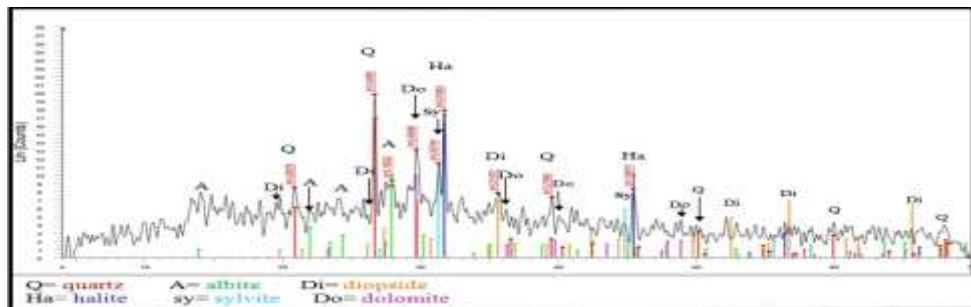
ولقد أثبتت الفحص الميكروبيولوجي وجود نموات فطرية من نوع البنسليلوم penicillium ، Aspergillus Flavus ، Aspergillus Niger (١٠) ، ونظرًا للتلف الشديد الذي يمكن أن تسببه تلك النموات الفطرية، حيث أنها تفرز أحماض عضوية تتفاعل مع مكونات الأثر الفخاري، و تكون مركبات ملحية، وتحلل الوسيط العضوي و بعض المركبات المعدنية بالأثر الفخاري مما يسبب تلف فيزيوكيميائي ، لذلك يجب مقاومة تلك النموات الفطرية فيزيائياً أو كيميائياً.



صورة (١٠) الفحص الميكروبيولوجي بالميكروскоп الضوئي
Aspergillus Niger : A Penicillium sp : D Aspergillus Ochraceus : C Aspergillus Flavus : B
عمل الباحث " "

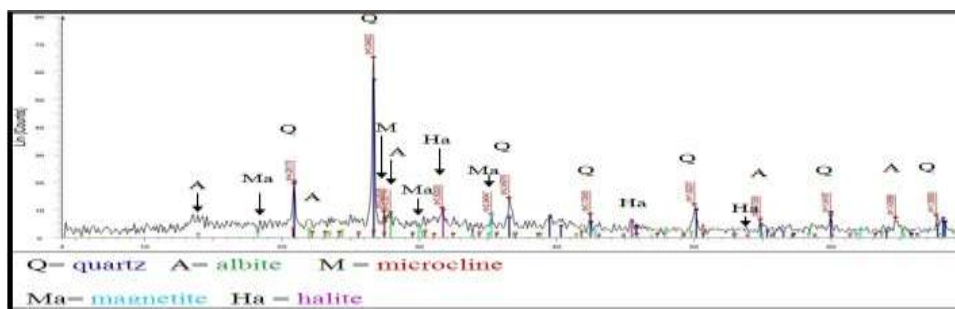
٣-٥. التحليل بطريقة حيود الأشعة السينية:

لقد تم تحليل عدد (٣) عينات منها عدد (٢) عينة فخارية وعينة واحدة من تربة الموقع الأثري حيث يوضح نمط حيود الأشعة السينية للعينة الأولى وجود الكوارتز (SiO₂) برقم كارت (05-0490) والهاليت برقم كارت (75-0306) والأليت برقم كارت (01-0739) والدلومنيت برقم كارت (89-1306) وكلوريد البوتاسيوم برقم كارت (75-0305) والدايوبيسيد برقم كارت (02-0656) كما في الشكل رقم (٤).



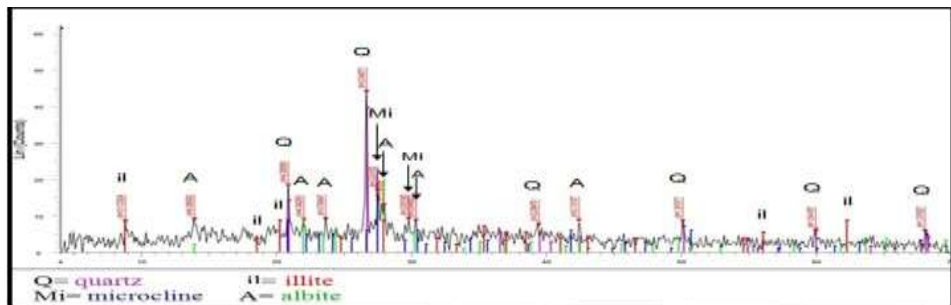
شكل (٤) يمثل نمط حيود الأشعة السينية XRD للقطعة الأثرية الأولى بتل آثار هربيط . "تحليل الباحث"

وأثبتت الشكل (٥) لنمط حيود الأشعة السينية للعينة الثانية وجود الكوارتز SiO_2 برقم كارت (5-0490) والهاليت برقم كارت (75-0306) والأليت برقم كارت (01-0739) والميكروكلين برقم كارت (01-0705) والмагنتيت برقم كارت (86-1325).



شكل (٥) يمثل نمط حيود الأشعة السينية XRD للقطعة الأثرية الثانية بتل هربيط . "تحليل الباحث"

كما أثبتت التحليل للعينة الثالثة لترابة تل آثار هربيط بالشرقية كما في الشكل رقم (٦) وجود الأليت (سليلات الصوديوم والبوتاسيوم والألومنيوم والمعناسيوم) برقم كارت (25-0001) والكوارتز برقم كارت (05-0490) والميكروكلين برقم كارت (01-0705) والأليت برقم كارت (01-0739) . ويتبين من نتائج نمط حيود الأشعة السينية أن التربة طينية رملية .



شكل (٦) يمثل نمط حيود الأشعة السينية XRD لعينة تربة تل آثار هربيط . "تحليل الباحث"

٤-مناقشة النتائج :

أوضح من الفحص العيني للآثار الفخارية بتل آثار هربيط بالشرقية أن الآثار الفخارية مشكلة بطريقة العجلة ، كما بين الفحص البصري وجود تكسسات التربة الطينية من جراء الدفن في التربة، فضلاً عن تبلور للأملاح وبعض البقع السوداء وظاهرة الكسر.

ولقد أثبتت الدراسة بالميكروسkop المستقطب أن الطفلة المستخدمة في صناعة فخار تل آثار هربيط بالشرقية هي طفلة نيلية Nile Clay لوجود الميكا من نوع البيوتيت و البيروكسين والروتيل وهذه المعادن مميزة للطفلة النيلية . وقد أكد ذلك التحليل بالميكروسkop الإلكتروني الماسح المزود بوحدة تشتيت طاقة الأشعة السينية EDX حيث أثبت وجود بعض العناصر مثل الصوديوم و البوتاسيوم و الكالسيوم و المغناسيوم و الحديد، وهي من العناصر المميزة للطفلة النيلية في مصر .

وكذلك أثبت الفحص بالميكروسkop المستقطب وجود بعض مواد الأضافة مثل الرمل Sand و مسحوق الحجر الجيري lime Stone Powder و مسحوق الفخار grog وقد أكد التحليل بالميكروسkop الإلكتروني الماسح المزود بوحدة تشتيت طاقة الأشعة السينية EDX وجود كربونات الكالسيوم كمادة مالئة مضافة. وأثبت أيضاً الفحص بالميكروسkop المستقطب وجود المعالجة السطحية بتطبيق طبقة بطانة Slip layer .

و أكد الفحص والتحليل بالميكروسkop الإلكتروني الماسح المزود بوحدة تشتيت طاقة الأشعة السينية EDX جودة الحرق للقطعة الفخارية الأولى لوجود ثاني أكسيد

الكربون بنسبة منخفضة وصلت إلى ٥,٨٤٪ لمنطقة السطح و ٢,١٦٪ لمنطقة اللب ، ورداة الحرق للقطعة الفخارية الثانية حيث وصلت نسبة الكربون إلى ١٩,٧٣٪ للسطح و ٢٠,٥٩٪ لمنطقة اللب مما يؤكد أن جو الحرق داخل الفرن كان جواً موكساً للقطعة الفخارية الأولى، وجواً مختزلاً للقطعة الفخارية الثانية.

ولقد أكد الفحص والتحليل بالميكروскоп الإلكتروني الماسح SEM المزود بوحدة تشتيت طاقة الأشعة السينية EDX وجود أملاح الكلوريدات والكبريتات والفوسفات حيث وصلت نسبة الكلورفي العينة الفخارية الأولى ٥,٧١٪ للسطح و ٥,٨٥٪ للب في القطعة الفخارية الأولى، بينما وصلت نسبة الكلور في العينة الثانية ٦,٥٧٪ للسطح و ١٠,٩٢٪ للب في القطعة الفخارية الثانية ، أما نسبة الكبريت في العينة الفخارية الأولى وصلت إلى ١,٩٢٪ للسطح و ٠,٥٢٪ لمنطقة اللب ، أما نسبة الكبريت في العينة الفخارية الثانية وصلت إلى ١,٩٧٪ للسطح و ٠,٨٣٪ لمنطقة اللب ، كما أثبت التحليل أيضاً وجود الفوسفور في العينة الفخارية الثانية بنسبة وصلت إلى ١,٢١٪ للسطح و ١,٨٣٪ لمنطقة اللب، مما يؤكد وجود أملاح الكلوريدات والكبريتات والفوسفات.

ولقد أثبتت الفحص الميكروبيولوجي للعينات وجود فطريات من نوع البنسليلوم Aspergillus penicillium والأسبرجليس Aspergillus Niger ، Aspergillus Flavus ، Aspergillus Ochraceus حيث أنها تفرز أحماض عضوية تتفاعل مع مكونات الأثر الفخاري مما يسبب تلف فيزيوكيميائي للقطع الفخارية .

وأثبت التحليل بطريقة حبيبات الأشعة السينية استخدام مسحوق الحجر الجيري من نوع الدلوميت كأحد المواد المائمة المضافة Temper . وجودة الحرق للقطعة الفخارية الأولى لوجود معدن الديايبسيد والذي يتكون فوق ١٥٠ ° وإنخفاض درجة حرارة الحرق للقطعة الفخارية الثانية لوجود المغنايت. كما أثبت التحليل وجود أملاح الكلوريدات والكبريتات والفوسفات بالعينات الفخارية، وهذا أمراً طبيعياً لوجود الآثار الفخارية مدفونة في التربة الطينية لآلاف السنين التحليل، كما أثبت وجود الأليت والميكروكلين والأليبت في تربة الموقع الأثري، مما يؤكد أن التربة من نوع التربة الطينية الرملية.

Treatment and Conservation

٥- الترميم والصيانة:

لقد أثبتت الدراسة البتروجرافية PLM والتحليل بتشتيت طاقة الأشعة السينية EDX وحبوب الأشعة السينية XRD للأواني الفخارية بآثار هريبط بالشرقية وجود

نوافح وتكلسات ورديم التربة الطينية، فضلاً عن وجود أملاح الكلوريدات والكبيريتات والفوسفات والبقع المختلفة، بالإضافة إلى وجود نموذات فطرية من نوع البنسليلوم والأسبرجلليس، كما عثر على بعضها في حالة كسر breaking الفعل الميكانيكي للتربة، وبناءً على تلك النتائج تم ترميم وصيانة قطعتين فخاريتين مستخرجيَن من الحفائر بتل آثار هريبيط بالشرقية وفقاً لطبيعة تلفهما وتبعاً للدراسات العلمية في مجال ترميم وعلاج وصيانة الآثار الفخارية حيث شملت عملية الترميم ما يلي :

١-٥ : التسجيل والتوثيق :

تم تسجيل وتوثيق الأواني الفخارية بتل آثار هريبيط بالشرقية فوتوغرافيا

٢-٥ : التنظيف :

تم تنظيف الأواني الفخارية من كافة الرواسب والتكلسات الترابية والطينية السائبة ميكانيكيًا بإستخدام فرش الشعر الناعمة ، في حين تم تنظيف كافة الرواسب والتكلسات الترابية والطينية المتصلدة والمتماضكة بالبدن الفخاري بإستخدام الفرق والمشارط والأبر، وتم العمل من أعلى إلى أسفل مع مراعاة الحرص الشديد لعدم تجريح الأثر وأستمرت عملية التنظيف الميكانيكي على نفس المنوال حتى أصبحت عملية التنظيف الميكانيكي بدون جدو^{٢١} . ثم استخدم التنظيف الكيميائي بعد ذلك لتنظيف تكلسات ورواسب التربة الطينية بإستخدام خليط من الأسيتون و الكحول الايثيلي بنسبة ٢٪ على التوالي ، وتم التنظيف الكيميائي موضعياً مع التجفيف، كما تم إزالة السنаж والرواسب الكلسية المشوهة للسطح الفخاري بإستخدام خليط من تراي تون أكس ١٠٠٪ بنسبة ٤,٩٪ Triton X-100^{٢٢} ، الزايلين p-xylene بنسبة ٤,٠٪ وكربونات الأمونيوم $(\text{NH}_4)_2\text{CO}_3$ بنسبة ٢,١٪ والماء بنسبة ٩٢,٦٪ وتم التطبيق بوضع شيت من الورق الياباني على السطح الفخاري ، ثم أعقب ذلك إستخدام الخليط السابق على هيئة كمادة من السليلوز المعروف بأسم أربوسيل Cellulose Fibers (Arbocel) ، وتم تغطية السطح بالبولي إيثيلين لمنع تبخر المذيب بسرعة، وتم إزالة المادة بعد ١٢ ساعة مع تنظيف بقايا المادة بإستخدام كمادة قطنية مشبعة بالماء المتعادل^{٢٣} . وتم إزالة الإصابات الفطرية بالتنظيف الميكانيكي بإستخدام الفرش الناعمة^{٢٤} ، ثم أعقب ذلك عمل تنظيف

²¹ Plenderleith , H. J., and Werner , A., Conservation of Antiquities , pp. 204- 206 .

²² Giorgi, R., and Carretti, E., " Cleaning: Applications and Case Studies", P.237.

²³ Gibson, B. M., " Removing Deposits from Ancient Pottery" , pp.18-22

كيميائي بإستخدام الثيمول Thymol، وتم ضبط الحرارة والرطوبة لمنع الإصابة الفطرية مرة أخرى^{٢٤}.

٣-٥ : استخلاص الأملاح:

تم إزالة أملاح الكلوريدات والكبريتات والفوسفات ميكانيكاً أولاً باستخدام فرش الشعر الناعمة والفرر والمشارط ميكانيكيًا مع مراعاة أن يكون العمل بالمشارط أو الفرر تحت عدسات بقعة تكبير "6X" لمراعاة الحرص والدقة لعدم تجريح الأثر الفخاري^{٢٥}، ثم أعقب ذلك عمل كمادات من الماء المقطر لإزالة أملاح الهايليت^{٢٦} واستخدمت كمادة قطنية مشبعة بمحلول الإيديتا EDTA لإزالة الرواسب الكلسية من الكربونات وال الكبريتات^{٢٧}.

Consolidation :

تم تقوية الآثار الفخارية المستخرجة من تل آثار هربيط بالشرقية بإستخدام خليط النانوسليكا والبارالويد بـ ٧٢ تركيز ١٪^{٢٨}، وتم إستخدام طريقة الرش في عملية التقوية^{٢٩} spraying .

٤-٥: التجميم :

تم البدأ بعملية التجميم المبدئي لمعرفة أماكن الكسر حتى لا يكون هناك أي خطأ في عملية التجميم^{٣٠}، ثم تم تجميع الكسر الفخارية بإستخدام لأصلق البارالويد بـ ٧٢ الذائب في الطولوين بتركيز ٥٠٪^{٣١}. وتتضح عملية الترميم للقطعتين الفخاريتين بتل آثار هربيط بالشرقية كما في الصورتين رقمي (١٠-١١).

²⁴ Valentin , N., et al ., " Microbal Control by low oxgen and low Relative humidity , p . 222 .

²⁵ Moncreif , A., and Weaver , G. , Cleaning , pp.13-17

^{٢٦} ابراهيم عبدالله ، ترميم تحف الفخار ، ص ٨١

²⁷ Stambolov, T., " Removal of Iron Stain ",pp. 122.136.

²⁸ Singho,N.,D., and Johan ,M.,R., " Spectroscopy of Silica Nanoparticles " ,pp.5604-5605

²⁹ Brus, J., and Kotlik, P.," Consolidation by Alkoxy Silane " , PP. 109-110 .

³⁰ Fiorentino , P., and Borrelli , L.V., " Use of Adhesives and Fillers " , P. 202 .

³¹Oakley V., "A Ressessment of Aspects in The Conservation of Glass Objects " , PP. 221 .



صورة (١٠) تمثل ترميم القطعة الأثرية الأولى A : قبل الترميم B : بعد الترميم " عمل الباحث



صورة (١١) تمثل أعمال ترميم القطعة الأثرية الثانية A : القطعة الأثرية الثانية قبل الترميم
B: بعد الترميم . C: بعد التجميع . " عمل الباحث "

Conclusion

الخلاصة:

ولقد توصل البحث لمجموعة من النتائج على قدر كبير من الأهمية في التعرف على العملية التكنولوجية لصناعة الفخار بتل آثار هربيط بالشرقية من حيث نوع الطفلة حيث ثبت أنها من الطفلة النيلية ، أما الإضافات تبين أنها عبارة عن الرمل ومسحوق الفخار ومسحوق الحجر الجيري من نوع الدلوميت ، وتقنية التشكيل المستخدمة في صناعة الأواني الفخارية هي تقنية التشكيل بالدولاب ، كما توصل البحث أن المعالجة السطحية من نوع طبقة البطانة ، أما فيما يخص جو الحرق داخل الفرن كان جواً مؤكسداً للقطعة الأولى ومختزلاً للقطعة الثانية.

كما أثبت أيضاً أن معظم الآثار الفخارية بتل آثار هربيط بالشرقية تعاني من التلف الفيزيائي بفعل رواسب التربة ، بالإضافة إلى ظاهرة الكسر للقطعة الفخارية الثانية، فضلاً عن وجود نموذج فطري من نوع البنسليلوم والأسبرجلليس ، كما أثبت وجود أملاح الكلوريدات والكبريتات والكربونات والفوسفات.

وقد تم ترميم تلك القطع الفخارية المستخرجة من تل آثار هربيط بالشرقية بتجنب استخدام حمض الهيدروفلوريك و الهيدروكلوريك في إزالة الرواسب السليكاتية أو الكلسية تفاديًا لإذابة محتوى الأواني الفخارية من السليكات أو الكربونات خاصة المضافة عن عمد لتحسين خواص الطفلة . كما توصل البحث إلى استخدام مزيج من الأسيتون و الكحول الإيثيلي بنسبة ٢٠٪ على التوالي لإزالة رواسب التربة الطينية. ولقد توصل البحث إلى استخدام خليط يتكون من التراي تون اكس ١٠٠ بنسبة ٤,٩٪ والزايلين بنسبة ٤,٠٪ وكربونات الأمونيوم بنسبة ٢,١٪ والماء بنسبة ٩٢,٦٪ على هيئة كمادة لإزالة الرواسب السليكاتية و الكلسية الصلدة، وطريقة التبخير بالثيمول في مقاومة الإصابات الفطرية، وإستخدام خليط النانو السليكا والبارالويد بـ ٧٢ بتركيز٪ في تقوية الفخار الأثرى بطريقة الرش ولأقصى البارالويد بـ ٧٢٪ الذائب في التراي كلوروإيثيلين بتركيز ٥٥٪ في تجميع القطعة الفخارية الثانية، وبفضل عرضها متحفياً في درجة حرارة ٢٠ م° ورطوبة نسبية ٥٥٪.

Acknowledgement

الشكر:

بالخاص الشكر والتقدير إلى أ.د / محمد عبد الهادي، استاذ ترميم وصيانة الآثار بكلية الآثار بجامعة القاهرة لما قدمته لي من نصائح ومساعدات علمية ، كما أتقدم باسمي آيات الشكر والعرفان إلى السادة أخصائيو الترميم ومفتشي الآثار بالشرقية وأخص بالشكر والعرفان كل من أ/ محمد صلاح بترميم آثار سيناء وأ/ ناجح صبرى بترميم آثار شرق الدلتا وأ/ محمود سالم مفتش آثار الشرقية .

References:

المراجع

- ابراهيم كامل ، اقليم شرق الدلتا ، القاهرة ، ١٩٨١ .
- ابراهيم محمد عبدالله ، ترميم تحف الفخار والزجاج والقاشاني ، الطبعة الأولى ، دار الوفاء للطباعة والنشر ، ٢٠١٢ .
- رمضان عوض رمضان : دراسة علاج وصيانة الآثار الزجاجية الممزخرف بالمينا والمموهة بالذهب تطبيقاً على مجموعة من تحف الفن الإسلامي بالقاهرة ، رسالة ماجستير ، قسم الترميم ، كلية الآثار ، القاهرة ، ١٩٩٩ .
- فاطمة صلاح مذكور ، دراسة المواد والطرق الحديثة المستخدمة في ترميم وصيانة الآثار الخزفية الإسلامية مع التطبيق العلمي على بعض النماذج المختارة ، رسالة دكتوراة ، قسم الترميم ، كلية الآثار ، جامعة القاهرة ، ٢٠٠٤ .
- محمد السيد عبد الحميد ، هربيط الموقع والتاريخ ، حوليات المجلس الأعلى للآثار ، ٢٠٠٧ .
- محمد صلاح ، نجاح صبري ، تقرير علمي ، المجلس الأعلى للآثار ، شرق الدلتا ، ٢٠١٢ .
- وليد كامل علي ، التقييم العلمي لتأثير تقنيات صناعة الآثار الفخارية على معدلات تلفها في بعض الواقع الآثري المختلفة مع دراسة أهم طرق علاج وصيانة بعض النماذج الفخارية المختارة ، رسالة دكتوراه ، قسم الترميم ، كلية الآثار ، جامعة القاهرة ، ٢٠٠٧ .
- Ashurst, J., " Cleaning and Surface Repair" in The Conservation of Building and Decorative Stone, Vol. 2, edited by Ashurst, J., and Dimes, F., London, 1990,pp.31-32
- Berti, D., " Cleaning III: Emulsions and Microemulsions " in Nanoscience for the Conservation of Works of Art, edited by Piero Baglioni and David Chelazzi, Royal Society of Chemistry, Cambridge, 2013,p.200.
- Brus, J., and Kotlik, P., " Consolidation of Stone by Mixture of Alkoxy Silane and Acrylic Polymers" , in Studies in Conservation , Vol.41 , (2) , 1996, PP. 109-110 .
- Buys, S., and Oakley, V., Conservation and Restoration of Ceramics , London , 1993.
- Domsh , K. H., Games , W., and Anderson , T.H., : Compendium of Soil fungi , Vol. 2, London , 1980 .
- Exahos , G.H., : Characterization of Optical Materials , U.S.A , 2002.
- Fiorentino , P., and Borrelli , L.V., " Apremininary Note on The Use of Adhesives and Fillers in The Restoration of Ancient Egyptian Materials " , in Studies in Conservation, Vol. 20 , N.4 , 1975, P. 202 .
- Gibson, B. M., " Methods of Removing White and Black Deposits from Ancient Pottery", in Studies in Conservation, Vol. 16, No. 1, 1971,pp.18-22.
- Giorgi, R., and Carretti, E., " Cleaning: Applications and Case Studies" in Nanoscience for the Conservation of Works of Art", edited by Piero

Baglioni and David Chelazzi, Royal Society of Chemistry, Cambridge, 2013, p.236.

- Henderson, J., The science and archaeology of Materials, London, 2000.
- Moncreif , A., and Weaver , G. , Cleaning , in Science for Conservator , edited by Ashley - Smith , J., London,1983.
- Oakley V., "A Ressessment of Aspects involved in The Conservation of Glass Objects for A New Gallery at The Victoria and Albert Museum" , in The Conservation of Glass and Ceramics , edited by Tennent, R.H., London , 1999 , PP. 221 .
- Plenderleith , H. J., and Werner , A.,: The Conservation of Antiquities and Works of Art , London , 1971 .
- Riley, J., A ., "The Petrological analysis of Ceramics", in, British Museum, edited by Freestone, I. , london, 1982 , PP.1-8.
- Sayre , E.V., "Application of Compositional Analysis to the study of Materials Objects of Art and Archaeology" , in Material Issues in Art and Archaeology , edited by Sayre , E.V., Druzik , J., and Stevenson , C., Pennsylvania , 1988 ,pp.41-49
- Singho,N.,D., and Johan ,M.,R., " Complex impeddance Spectroscopy of Silica Nanoparticles via sol- gel method" ,in international electrochemical Science ,2012 ,pp.5604-5605
- Stambolov, T., " Notes on Removal of Iron Stain from Calcareous Stone" , in Studies in Conservation, Vol. 13, No. 1,1968,pp.122-136
- Valentin , N., Libstrom , M., and presser , F., " Microbal Control by low oxygen and low Relative humidity" , in studies in conservation, Vol. 35 , N . 4 , 1999 , p . 222 .

Restoration and Conservation of some of archaeological excavated Pottery from tel Hrbit in Sharqia, (Case Study).

Dr.Walid Kamel Ali

Abstract:

some pottery objects in tel Hrbit, Sharqia ' one of the archaeological sites dating back to the Late Period" had been studied ", many examinations and analysis for some pottery objects has carried out such as polarized microscope " PLM" microbiological examination, scanning electron microscope SEM and X-ray diffraction " XRD" where the search proved that the used clay is Nile clay, the tempers are sand, grog and limestone "dolomite". The forming has done by wheel, surface treatment is slip layer and the firing atmosphere for the first sample was oxidized but to the second sample was reduced.

It also proved that most of the pottery suffered from physical deterioration by soil deposits, as well as the phenomenon of fracture, growth of fungi, "Penicillium and Aspergillus, in addition to the presence of chlorides and sulfates, carbonates, and phosphate salts as a result of the burial in the soil. The restoration of these archaeological excavated pottery from Tel Hrbit, Sharqia has done by using the mechanical and chemical cleaning method where a mixture of acetone and ethyl alcohol " ratio of 1: 2" was used to remove the clay soil sediments, and use a poultice consisting of Triton X-100 4.9% , p-xylene 0.4% , ammonium carbonate" (NH₄)₂CO₃" 2.1% and water 92.6% to remove hardened silicate and Calcareous sediment ,use of fumes thymol for treatment of fungal infections, use of Nano silica particles and Paraloid B 72 "concentration of 1%" in the strengthening of the archaeological pottery by spraying method and adhesive Paraloid B 72 " concentration of 50%" in bonding of the second pottery.

Keywords:

" pottery, Deterioration, examination, poultice, thymol, Paraloid, Nano silica "